

用车贝雪夫多项式展开系数对短期降水场 进行客观、定量描述和预报

董晓敏 温杏琴 吴承宗 俞晓景
(江苏省气象科研所)

提 要

本文针对江苏省6—7月12小时降水场,得到降维和客观、定量描述的数学模型,求出一个12小时时段的预报向量 \hat{Y}_t 。通过降水天气诊断分析,归纳出制约成云致雨过程的、有限区域内的物理量因子场;立足于场量的观点,用车贝雪夫多项式展开的办法,把上述因子场上彼此有内在联系的巨量数据信息浓缩加工成因子集合 X 。在环流客观、定量分类基础上,选用逐步回归模型建立 \hat{Y}_t 和 X 之间的统计方程。经统计检验和试报检验,效果均较满意,进而设计短期降水场的客观、定量、自动或半自动化预报方案。

一、预报向量

观测表明,江苏6—7月的12小时雨量在时间和空间分布上均存在不稳定和不均匀性,这给客观、定量预报带来困难。根据江苏地域呈西北到东南走向的斜长形和6—7月

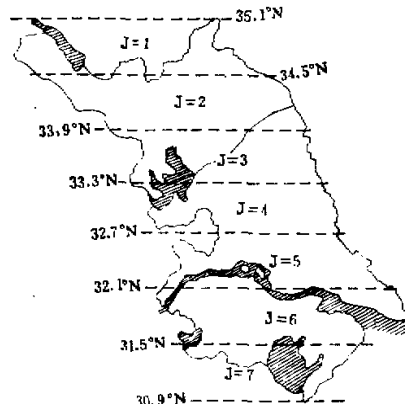


图1 自北向南等纬距地将江苏省分为七个区的示意

1984年1月10日收到,5月21日收到再改稿。

降水基本上具有纬向分布的天气气候特点^[1], 可将二维降水场转为南北向一维七点(用 $J = 1, 2, \dots, 7$ 表示)雨量分布^[2]。 J 点上的雨量 $R_i(J)$ 是图 1 第 J 区内测站雨量的平均值; 其中 $i = 1, 2, \dots, 6$ 分别对应着 $0-12^h, 12-24^h, 24-36^h, 36-48^h, 48-60^h, 60-72^h$ 共六个 12 小时时段。

再用车贝雪夫多项式 $\phi_L(J)$ 展开 $R_i(J)$:

$$\left\{ \begin{array}{l} \hat{R}_i(J) = \sum_{L=1}^{L_0} y_i(L) \phi_L(J) \\ y_i(L) = \sum_{J=1}^{J_0} \phi_L(J) R_i(J) / \sum_{J=1}^{J_0} \phi_L^2(J) \end{array} \right. \quad (1)$$

$$(2)$$

在序号 J 的空间里和第 i 个 12 小时时段内, $y_i(L)$ 的天气意义是: $y_i(1)$ 为全省平均雨量值, $y_i(2), y_i(3), y_i(4), \dots$ 等分别是降水量沿南北方向线性、抛物线、三次曲线……等变化的权重; 根据试验^[3]取 $L_0 = 4$, $\hat{R}_i(J)$ 已相当好地符合 $R_i(J)$; 又因车贝雪夫多项式是正交函数族, 展开系数之间彼此独立, 四个系数构成降水预报向量, 记作

$$Y_i = (y_i(1), y_i(2), y_i(3), y_i(4)).$$

二、因子集合

通过对强降水的诊断分析^[3,4], 归纳出大气中成云致雨过程制约关系较密切的物理量场是: 反映形势背景的 H_{700} 和 P_{700} 场; 体现中空温湿特征的 $\sum_{850}^{500} \theta_{se}$ 和 $(T - T_d)_{700}$ 场; 显示动力条件的 $\zeta_{500}, D_{700}, \omega_{700}$ 场。经验统计^[5], 和 48 小时降水预报的时间尺度相匹

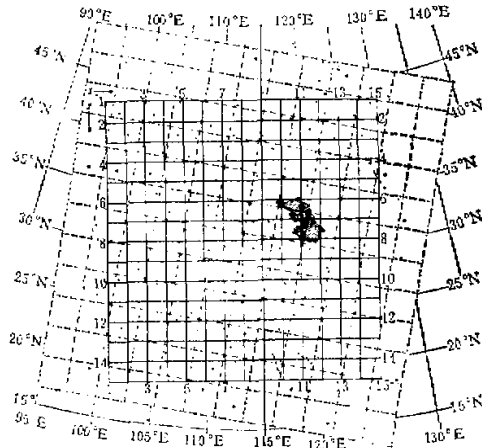


图 2 物理量场计算范围

虚线为国家气象中心网格 ($d = 381\text{km}$), 实线为江苏网格 ($d = 200\text{km}$, 标准经线 115°E)。“○”为计算诊断场所取测站, 阴影区为江苏的地域范围。

配的空间尺度是图2给出的三级嵌套网格区：第一级 $I = 1-15, J = 1-15$ ；第二级 $I = 6-14, J = 3-11$ ；第三级 $I = 10-12, J = 6-8$ 。

降水天气及其天气系统，不仅和上述场区内一些重要的局部点值有关，更重要的是和各点彼此间的数值分布特征及其变化有关。因此，怎样才能把高质量的预报因子，从巨量的数据信息中提炼出来呢？

对于这个问题，近几年在“MOS”预报方法中，是结合预报经验选用“关键区（指标站）”值作因子的办法来处理的。虽然这样做在客观、定量预报上迈进了一步，但由于因子缺乏场量的总体概念，因而用其来体现天气分析和预报的经验有很大的片面性；加之“关键区（指标站）”往往难以准确选定，且物理意义也模糊不清。这些都限制了因子的质量，影响方程效果。

立足于场量的观念去处理，把巨量数据信息在时、空分布上的特征和制约关系浓缩成几个“参变量”。用参变量作因子不仅数据量大大减少，而且物理意义清晰、天气特征显著，克服了以上办法的缺点。

对图2给出的有限区域，宜选用^[6]车贝雪夫多项式 $\varphi_k(I)$ 和 $\phi_l(J)$ 分别沿 x 和 y 方向展开来求取场量的参变量。对于任一个场量 $F(J, I)$ ，有^[7]：

$$\left\{ \begin{array}{l} F(J, I) = \sum_{L=1}^{I_0} \sum_{K=1}^{K_0} A_{LK} \phi_L(J) \varphi_K(I) \\ A_{LK} = \sum_{I=1}^{I_0} \sum_{J=1}^{J_0} F(J, I) \phi_L(J) \varphi_K(I) / \left[\sum_{I=1}^{I_0} \varphi_K^2(I) \sum_{J=1}^{J_0} \phi_L^2(J) \right] \\ B_{LK} = A_{LK}^2 \sum_{I=1}^{I_0} \varphi_K^2(I) \sum_{J=1}^{J_0} \phi_L^2(J) / \sum_{I=1}^{I_0} \sum_{J=1}^{J_0} F^2(J, I) \end{array} \right. \quad (3)$$

式中 A_{LK} 为展开系数，其物理意义是明确的^[7]； B_{LK} 是某展开项在整个场值中占的比例，反映该项的重要性。按三级嵌套网格展开后，以 B_{LK} 值大者在七个物理量场的展开系数中分别选择 12 个 A_{LK} 为因子 $X_i(m)$ ，全部因子构成的集合记作：

$$X_{\text{总}} = \{X_i(m)\} = \begin{Bmatrix} X_1(1), X_1(2), \dots, X_1(12) \\ X_2(1), X_2(2), \dots, X_2(12) \\ \vdots \\ X_7(1), X_7(2), \dots, X_7(12) \end{Bmatrix}$$

三、环流客观分类和各类 Y_i 的方程

不同环流形势下，降水的物理条件有区别，考虑预报的着眼点也就有差异。因此，合理的环流分类，能改善 Y_i 和 $X_{\text{总}}$ 之间的线性关系。

以预报经验为线索，选用 $X_{\text{总}}$ 中的四个因子将统计样本分成六类，详见表 1。

分类建方程时，因 $X_i(m)$ 进入逐步回归筛选的排列顺序不同，共求得 720 个方程。根据：① 方程中的因子数适中（但也不过多强调因子数是样本数的 $1/4-1/5$ ^[8]，以避免好因子被删掉）；② 方程的质量参数高（复相关系数 0.85 以上，无偏估计量和均方差分别在

表 1 环流客观分类的条件和各类特征

| 类别 | 样本数 | 分类的条件 | 环流主要特征 | 分类条件的物理意义 |
|----|-----|---|-------------------------------|---|
| 1 | 29 | $-0.20 \leq X_1(9) < 0.20$ $0.90 \geq X_1(10)$ $0.05 > X_1(11)$ | 平直纬向；锋区不强。 | $X_1(2)$ ：是第二级嵌套网格区内 500hPa 位势平均值，其值的大、小反映了环流的季节特征。 |
| 2 | 18 | $580.1 > X_1(2) > 585.0$ $-0.20 \leq X_1(9)$ $X_1(10) > 0.90$ $0.05 > X_1(11)$ | 较平直纬向；锋区较强，位置或是偏北或是偏南。 | $X_1(9)$ ：是第一级嵌套网格区内 500hPa 位势沿东西方向线性变化权重。其正(或负)值的大、小是东高西低(或东低西高)程度的量度。 $X_1(10)$ ：是第一级嵌套网格区内 500hPa 位势沿南北方向线性变化权重。其正(或负)值的大、小是北低南高(或北高南低)程度的量度。 |
| 3 | 20 | $-0.20 > X_1(9)$ $0.05 > X_1(11)$ | 西高(压)，东低(压)。 | $X_1(11)$ ：是第一级嵌套网格区内 500hPa 位势沿东西方向抛物线变化权重。其正(或负)值的大、小是华中西风槽(或脊)强度的量度。 |
| 4 | 27 | $X_1(9) \geq 0.20$ $0.90 \geq X_1(10)$ | 东高(压)，西低(压)。 | |
| 5 | 38 | $X_1(11) \geq 0.05$ /但不得同时有： $X_1(9) \geq 0.20$ $X_1(10) \leq 0.90$ | 华中有较深的西风槽。 | |
| 6 | 48 | $580.1 \leq X_1(2) \leq 585.0$ $-0.20 \leq X_1(9)$ $X_1(10) > 0.90$ $0.05 > X_1(11)$ | 较平直纬向；锋区较强，且位置对长江中下游降水来说“适中”。 | |

0.9 和 0.1 以下)的原则,挑选出 $\sum_{i=1}^6 \sum_{j=1}^4 \sum_{n=1}^6 = 144$ 个方程,其通式为:

$$y_i^*(L) = b_{0i}(L) + b_{1i}(L)X_{1i}^{(L)} + b_{2i}(L)X_{2i}^{(L)} + \dots + b_{ni}(L)X_{ni}^{(L)} \quad (6)$$

式中 b_{ni} 为不同 i 时段的回归系数, n 为中选进入方程的因子数。

四、方程的效果检验和预报实施方案

将统计样本的因子集合 X 代入(6)式计算出向量

$$Y_i^* = (y_{i(1)}^*, y_{i(2)}^*, y_{i(3)}^*, y_{i(4)}^*),$$

再用(1)式反算降水场拟合值 $\hat{R}_{i(j)}$; 取四个检验指标:

$$S_1 = \left[\sum_{j=1}^7 (\hat{R}_{i(j)} - \hat{R}_{i(j)}^*)^2 / (7-1) \right]^{\frac{1}{2}},$$

$$S_2 = \left[\sum_{j=1}^7 (R_{i(j)} - \hat{R}_{i(j)}^*)^2 / (7-1) \right]^{\frac{1}{2}},$$

$$Q_1 = S_1 / y_{i(1)}, \quad Q_2 = S_2 / y_{i(1)}.$$

从表 2 中的数值可见: $\hat{R}_i^*(j)$ 和展开系数构成的向量 Y_i 的拟合值 $\hat{R}_i(j)$ 均方误差小于 2.91 毫米, 强降水的相对均方误差不超过雨量值的 55%; $\hat{R}_i^*(j)$ 和实际降水场 $R_i(j)$ 的均方误差小于 3.54 毫米, 强降水的相对均方误差不超过雨量值的 69%。配合表 2、图 3

表 2 S_1 、 S_2 和 Q_1 、 Q_2 值

| 样本平均 指 标 | 时段 数 值 | $t=1$ (0—12 ^h) | $t=2$ (12—24 ^h) | $t=3$ (24—36 ^h) | $t=4$ (36—48 ^h) | $t=5$ (48—60 ^h) | $t=6$ (60—72 ^h) |
|-------------|-----------|-------------------------------|--------------------------------|--------------------------------|--------------------------------|--------------------------------|--------------------------------|
| S_1 | | 2.41 | 2.46 | 2.91 | 2.21 | 2.77 | 2.80 |
| S_2 | | 2.96 | 3.22 | 3.43 | 3.39 | 3.39 | 3.54 |
| Q_1 | | 0.75 0.47 | 0.88 0.39 | 0.90 0.55 | 0.74 0.40 | 0.74 0.42 | 0.82 0.45 |
| Q_2 | | 0.95 0.62 | 1.14 0.64 | 1.06 0.67 | 0.97 0.66 | 0.89 0.57 | 1.04 0.69 |

注: S_1 和 S_2 是全体统计样本的平均值; Q_1 和 Q_2 是 $y_t(1)$ 达到 1 毫米以上的统计样本的平均值; Q'_1 和 Q'_2 是 $y_t(1)$ 达到 5 毫米以上的统计样本的平均值。

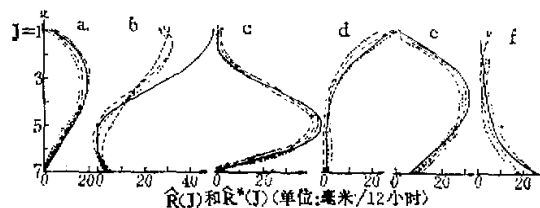


图 3 6 强雨时段的分布曲线

实线为 $\hat{R}_i(J)$, 线段为 $\hat{R}_i^*(J)$ 或 $\hat{R}_i^*(J)$, 虚线为 $\hat{R}_i^*(J)$ 或 $\hat{R}_i^*(J)$,
点段线为 $\hat{R}_i^*(J)$ 或 $\hat{R}_i^*(J)$

a: 1977.7.7⁰⁸⁻²⁰, b: 1977.7.10^{08-11⁰}, c: 1979.7.13^{08-14⁰},
d: 1979.7.31⁰⁸⁻²⁰, e: 1980.7.17^{08-18⁰}, f: 1980.7.30⁰⁸⁻²⁰.

“天气、动力因子场统计预报方案”流程

输入: 120 个站点地面、850、700、500 hPa 湿、压、湿、风等电码资料。

进行: ① 分离电码, 转为 120 个站点四层气象要素值;
② 将站点要素值插值转为图 2 实线网格点的要素值。

计算: ① 物理量诊断场;
② 对诊断场作车贝雪夫多项式展开, 求取因子集合
 $X = \{X_5(m)\}$ 值。

根据 X 值完成:
① 对样本的所属环流类型做出判断;
② 按环流类型调用回归方程, 求出预报向量 Y_1^* 、
 Y_2^* 、 Y_3^* 、 Y_4^* 、 Y_5^* 及其相应的降水场 $\hat{R}_1^*(J)$ 、
 $\hat{R}_2^*(J)$ 、 $\hat{R}_3^*(J)$ 、 $\hat{R}_4^*(J)$ 、 $\hat{R}_5^*(J)$ 、 $\hat{R}_6^*(J)$ 。

输出打印:
① 样本环流类型及其特点;
② 和诊断场时刻相对应的 0—12^h、12—24^h、...、
60—72^h 共六个时段降水估计值, 供预报参考;
③ 实线网格上的物理量诊断场, 为重大灾害性天气
过程作诊断分析积累资料;
④ 物理诊断场的车贝雪夫多项式展开系数 (包括因
子集合 X 值), 为改善该预报方案积累资料。

表 3 1981年6月1日—7月10日期

| 强雨时段 t | 项 目 | 江苏自北向南分区降水拟合值和实际降水值 | | | | | | | \hat{R}_t^* 和 R_t 的比较说明 |
|---------------------|---------------|---------------------|-------|-------|-------|-------|-------|--------------|--------------------------------------|
| | | $J=1$ | $J=2$ | $J=3$ | $J=4$ | $J=5$ | $J=6$ | $J=7$ | |
| 6月8日20时 —9日08时 | R_t | 17.5 | 8.6 | 1.1 | 0.3 | 0.0 | 0.0 | 0.0 | 分布有偏差 $>$ 属“ \times ” |
| | \hat{R}_t^* | 0.0 | 0.0 | 0.0 | 9.7 | 25.7 | 24.6 | 0.0 | |
| | \hat{R}_3^* | 0.0 | 0.8 | 0.4 | 0.0 | 0.0 | 0.0 | 3.6 | |
| | \hat{R}_6^* | 0.0 | 0.0 | 0.0 | 0.0 | 0.0 | 0.0 | 0.0 | |
| 6月9日08时 —9日20时 | R_t | 26.2 | 19.2 | 16.2 | 19.6 | 0.7 | 0.0 | 0.0 | 雨量和分布均接近 分布有偏差 “ \times ” |
| | \hat{R}_1^* | 21.1 | 6.9 | 0.0 | 0.0 | 0.0 | 0.0 | 6.5 | |
| | \hat{R}_3^* | 0.0 | 11.8 | 15.6 | 12.9 | 7.0 | 1.2 | 0.0 | |
| | \hat{R}_6^* | 0.0 | 0.0 | 0.0 | 3.2 | 5.1 | 1.1 | “ \times ” | |
| 6月9日20时 —10日08时 | R_t | 7.5 | 7.6 | 14.9 | 13.3 | 19.9 | 7.3 | 1.5 | 雨量和分布均接近 分布有偏差 雨量偏小, 分布有偏差 |
| | \hat{R}_1^* | 1.1 | 0.0 | 2.1 | 16.6 | 27.3 | 24.7 | 0.0 | |
| | \hat{R}_4^* | 4.7 | 37.2 | 33.7 | 12.4 | 0.0 | 0.0 | 25.8 | |
| | \hat{R}_6^* | 0.9 | 8.4 | 6.7 | 0.3 | 0.0 | 0.0 | 0.0 | |
| 6月23日20时 —24日08时 | R_t | 2.5 | 19.0 | 6.4 | 5.3 | 1.6 | 0.1 | 0.0 | 分布略有偏差 “ \times ” 分布略有偏差 |
| | \hat{R}_1^* | 12.6 | 3.8 | 2.7 | 5.7 | 9.3 | 9.7 | 3.4 | |
| | \hat{R}_4^* | 0.8 | 0.9 | 1.2 | 1.3 | 1.2 | 0.7 | 0.0 | |
| | \hat{R}_6^* | 11.0 | 13.6 | 7.5 | 0.0 | 0.0 | 0.0 | 0.0 | |
| 6月24日08时 —24日20时 | R_t | 22.7 | 23.0 | 11.7 | 12.7 | 11.4 | 25.2 | 11.1 | 雨量偏小 雨量偏小, 分布略有偏差 “ \times ” |
| | \hat{R}_1^* | 10.3 | 9.6 | 7.2 | 4.4 | 2.6 | 3.1 | 7.4 | |
| | \hat{R}_3^* | 8.9 | 2.5 | 0.0 | 0.0 | 0.0 | 0.0 | 6.2 | |
| | \hat{R}_6^* | 0.0 | 0.0 | 0.0 | 0.0 | 0.0 | 0.0 | 0.0 | |
| 6月24日20时 —25日08时 | R_t | 45.3 | 36.5 | 2.3 | 0.0 | 0.6 | 9.1 | 0.6 | 雨量偏小, 分布有偏差 雨量偏小 “ \times ” |
| | \hat{R}_1^* | 6.8 | 4.8 | 7.1 | 11.0 | 14.4 | 14.7 | 9.7 | |
| | \hat{R}_3^* | 11.4 | 0.0 | 0.0 | 0.0 | 3.6 | 4.0 | 0.0 | |
| | \hat{R}_6^* | 0.0 | 0.0 | 0.0 | 0.0 | 0.0 | 0.0 | 0.0 | |
| 6月25日08时 —25日20时 | R_t | 0.0 | 0.5 | 11.7 | 20.4 | 14.3 | 11.7 | 0.3 | >雨量偏小, 分布略有偏差 分布略有偏差 |
| | \hat{R}_1^* | 0.0 | 0.0 | 1.0 | 5.6 | 9.5 | 11.1 | 8.7 | |
| | \hat{R}_3^* | 7.1 | 4.2 | 3.0 | 2.8 | 3.0 | 2.8 | 1.6 | |
| | \hat{R}_6^* | 0.0 | 0.0 | 0.0 | 0.1 | 18.0 | 25.6 | 12.1 | |
| 6月25日20时 —26日08时 | R_t | 0.0 | 1.4 | 14.8 | 89.4 | 7.6 | 1.2 | 0.2 | 雨量偏小, 分布有偏差 “ \times ” |
| | \hat{R}_1^* | 3.5 | 3.2 | 2.8 | 2.9 | 4.0 | 6.8 | 11.8 | |
| | \hat{R}_3^* | 4.2 | 0.0 | 0.0 | 0.0 | 0.0 | 3.6 | 0.0 | |
| | \hat{R}_6^* | 2.6 | 0.0 | 0.0 | 0.0 | 0.0 | 0.0 | 1.7 | |
| 6月26日08时 —26日20时 | R_t | 0.0 | 9.5 | 34.1 | 33.4 | 18.6 | 1.1 | 0.2 | 雨量偏小, 分布有偏差 |
| | \hat{R}_1^* | 0.3 | 2.4 | 4.5 | 6.2 | 7.2 | 7.1 | 5.6 | |
| | \hat{R}_3^* | 4.7 | 4.8 | 7.2 | 9.7 | 10.1 | 6.2 | 0.0 | |
| | \hat{R}_6^* | 0.0 | 0.0 | 0.0 | 1.4 | 5.3 | 5.7 | 0.6 | |

注: ① 表中 R_t 是 t 时段的实际降水场, \hat{R}_1^* , \hat{R}_3^* , \hat{R}_6^* 分别是用 t 时段开始时之 \hat{R}_1^* , \hat{R}_3^* , \hat{R}_6^* 前 12 小时、前 36 小时、前 60 小时、前 24 小时、前 48 小时的预报值。

② 表中“ \times ”表示预报值对实际的强降水无反映。

间 18 个强雨时段的实际降水场 $R_t(J)$ 和 $\hat{R}_t^*(J)$ 比较

| 强雨时段 t | 项 目 | 江苏自北向南分区降水拟合值和实际降水值 | | | | | | | \hat{R}_t^* 和 R_t 的比较说明 |
|----------------------|---------------|---------------------|-------|-------|-------|-------|-------|-------|------------------------------|
| | | $J=1$ | $J=2$ | $J=3$ | $J=4$ | $J=5$ | $J=6$ | $J=7$ | |
| 6月27日08时 —27日20时 | R_t | 0.0 | 3.9 | 31.6 | 11.3 | 27.4 | 42.2 | 49.4 | “×” >雨量偏小, 分布有偏差 |
| | \hat{R}_t^* | 2.2 | 1.0 | 1.4 | 2.5 | 3.5 | 3.6 | 1.9 | |
| | \hat{R}_3^* | 18.8 | 18.8 | 16.1 | 10.1 | 3.9 | 1.2 | 5.6 | |
| | \hat{R}_5^* | 5.4 | 8.1 | 4.3 | 0.0 | 0.0 | 0.0 | 0.0 | |
| 6月27日20时 —28日08时 | R_t | 0.0 | 0.1 | 0.9 | 2.7 | 6.1 | 17.2 | 44.1 | 雨量偏小, 分布略有偏差 分布有偏差 “×” |
| | \hat{R}_2^* | 1.3 | 1.2 | 4.4 | 8.3 | 10.5 | 8.7 | 0.4 | |
| | \hat{R}_4^* | 17.8 | 32.0 | 26.4 | 11.5 | 0.0 | 0.0 | 17.2 | |
| | \hat{R}_6^* | 0.0 | 0.0 | 0.3 | 1.7 | 2.8 | 2.9 | 1.1 | |
| 6月28日08时 —28日20时 | R_t | 0.0 | 0.0 | 0.0 | 0.0 | 1.0 | 4.9 | 13.9 | 雨量和分布均接近 分布有偏差 |
| | \hat{R}_1^* | 0.0 | 0.0 | 2.3 | 1.9 | 1.0 | 2.3 | 8.1 | |
| | \hat{R}_3^* | 9.5 | 10.5 | 10.2 | 8.4 | 4.9 | 6.0 | 0.0 | |
| | \hat{R}_5^* | 1.0 | 13.0 | 11.1 | 1.6 | 0.0 | 0.0 | 0.0 | |
| 6月28日20时 —29日08时 | R_t | 0.0 | 0.0 | 0.0 | 0.0 | 0.2 | 6.7 | 15.6 | 分布有偏差 “×” 分布略有偏差 |
| | \hat{R}_2^* | 1.0 | 7.7 | 12.0 | 13.7 | 13.0 | 9.9 | 4.4 | |
| | \hat{R}_4^* | 3.8 | 0.0 | 0.0 | 0.0 | 0.0 | 1.8 | 0.0 | |
| | \hat{R}_6^* | 7.7 | 5.1 | 5.1 | 6.9 | 9.3 | 11.3 | 11.8 | |
| 6月30日08时 —30日20时 | R_t | 6.0 | 4.6 | 6.7 | 17.4 | 0.8 | 1.8 | 2.6 | 分布略有偏差 雨量和分布均接近 分布略有偏差 |
| | \hat{R}_1^* | 3.7 | 9.9 | 11.2 | 10.1 | 9.3 | 11.1 | 18.2 | |
| | \hat{R}_3^* | 7.2 | 8.0 | 6.6 | 4.5 | 2.8 | 3.0 | 6.3 | |
| | \hat{R}_5^* | 12.0 | 9.3 | 9.9 | 11.6 | 12.5 | 10.3 | 2.9 | |
| 6月30日20时 —7月1日08时 | R_t | 6.5 | 16.7 | 23.6 | 21.7 | 25.4 | 10.6 | 9.5 | “×” >雨量偏小 |
| | \hat{R}_1^* | 0.0 | 0.0 | 0.0 | 0.0 | 0.7 | 1.6 | 0.0 | |
| | \hat{R}_3^* | 5.8 | 1.7 | 2.9 | 6.8 | 10.4 | 11.1 | 6.0 | |
| | \hat{R}_5^* | 6.7 | 0.1 | 1.1 | 5.5 | 9.3 | 8.2 | 0.0 | |
| 7月1日08时 —1日20时 | R_t | 9.7 | 6.2 | 15.6 | 11.1 | 22.7 | 10.2 | 3.5 | 雨量略偏小, 分布有偏差 |
| | \hat{R}_1^* | 2.0 | 2.4 | 2.4 | 2.6 | 3.9 | 6.9 | 12.5 | |
| | \hat{R}_3^* | 0.0 | 10.9 | 8.6 | 0.0 | 0.0 | 0.0 | 5.2 | |
| | \hat{R}_5^* | 12.9 | 4.0 | 3.2 | 6.3 | 8.9 | 7.0 | 0.0 | |
| 7月6日20时 —7日08时 | R_t | 3.0 | 2.7 | 13.6 | 35.6 | 6.2 | 0.7 | 0.0 | 分布有偏差 分布略有偏差 分布有偏差 |
| | \hat{R}_1^* | 20.7 | 0.0 | 0.0 | 0.0 | 0.0 | 0.6 | 13.0 | |
| | \hat{R}_3^* | 0.0 | 0.0 | 4.4 | 12.5 | 19.3 | 21.8 | 17.2 | |
| | \hat{R}_5^* | 13.9 | 1.5 | 0.0 | 1.0 | 5.9 | 9.6 | 8.5 | |
| 7月9日20时 —10日08时 | R_t | 0.0 | 0.0 | 2.0 | 7.1 | 29.2 | 41.2 | 11.3 | 雨量偏小 >分布略有偏差 |
| | \hat{R}_1^* | 3.7 | 3.4 | 3.6 | 4.1 | 4.8 | 5.7 | 6.7 | |
| | \hat{R}_3^* | 10.9 | 11.5 | 15.8 | 20.6 | 22.5 | 18.4 | 4.8 | |
| | \hat{R}_5^* | 6.1 | 6.1 | 13.3 | 18.4 | 19.7 | 15.9 | 5.4 | |

小时
的因子集合计算出来的 t 时段降水场的预报值。

给出各种强雨分布下的 R^* 和 $\hat{R}_i(J)$ 曲线，可见方程对强雨的概括能力比小雨要好。

对未参加统计的 1981 年 6 月 1 日到 7 月 10 日逐日试验预报的结果是：① 18 个强雨时段可由表 3 看出， $R^*(J)$ 和实际降水场 $R_i(J)$ 在分布上虽有差异，但大多在雨量上均能反映出来；② $\hat{R}^*(J)$ 指示出 6 月 15—21 日有系统性降水，这和实际 $R_i(J) \approx 0$ 不符合，但却和当时江苏省气象台天气会商的经验预报意见很相似。

以上检验结果说明：通式(6)所给出的 144 个方程对降水场的定量、客观预报有一定的能力。具体实施可按以下自动化工作流程进行：

左侧流程中的物理量也可不作计算，而直接使用国家气象中心发布的诊断场；还可用物理量预报场来取代诊断场，设计“完全预报”的工作方案。

五、小 结

现今地方气象台站在短期天气预报方面，能收集到的数据信息量是十分巨大的。这给短期天气的客观、定量预报，一方面提供了可行的条件，另一方面也提出如何加工和使用这些信息才能达到实际有效的问题。我们的体会是：

1. 应把气象预报视为应用物理问题，要重视通过预报实践来分析和归纳天气过程的物理意义，针对产生某种天气现象的物理本质来择取有关预报它的数据信息。
2. 不仅要重视原始数据信息的使用，更要重视对它的加工和加工后的“新”信息使用。
3. 要用“场量”的观念去加工信息，使“新”信息不仅能保留原信息的特点，而且能显示出原信息中各个数据之间的内在联系和制约的特性。这样的“新”信息数据量小、质量高、物理意义清晰，真正是原数据信息的浓缩量。
4. 省以下气象台站，多取的是有限区域场量，采用车贝雪夫多项式展开的办法来加工信息，不仅简便易行，而且用加工后的浓缩信息量作因子，回归方程的效果是理想的。

参 考 文 献

- [1] 温杏琴、董晓敏、吴承宗，江苏前汛期暴雨的天气气候分析，教学与研究，中国人民解放军空军气象学院，1983。
- [2] 董晓敏、吴承宗、温杏琴，江苏前汛期 12 小时降水场的定量描述和客观聚类，南京气象学院学报，第一期，1984。
- [3] 董晓敏、金秀兰、温杏琴，长江流域梅雨期内一次特大暴雨过程的诊断分析，长江流域暴雨文集，气象出版社，1982。
- [4] 董晓敏、温杏琴等，梅雨期暴雨云团的新生和低压系统发展的一种机制，大气科学，7 卷 2 期，1983。
- [5] 傅顺瑛等，江苏前汛期区域性暴雨 24—48h 预报信息及其实报效果，华东暴雨会议文集，1979。
- [6] 章基嘉、葛玲编著，中长期天气预报基础 P. 43—44，气象出版社，1983。
- [7] 张家诚、周家诚等，用车贝雪夫多项式研究月平均 500 百帕等压面位势场的初步结果，气象学报，第 33 卷第 2 期，1963。
- [8] 汪盛章，选因子的四个原则，待发表。

勘 误

对本刊 9 卷 1 期作如下勘误：

| 页 | 行或公式 | 误 | 正 |
|----|----------|--------------------|----------------------------|
| 34 | 公式(7) 左端 | $Z_{K_0}(T_0 + 1)$ | $\tilde{Z}_{K_0}(T_0 + 1)$ |